

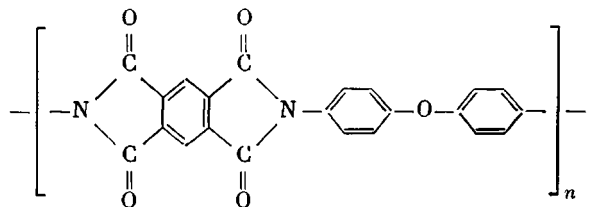
УДК 541.64:539.3

**ИССЛЕДОВАНИЕ МЕХАНИЧЕСКОЙ РАБОТОСПОСОБНОСТИ
ПОЛИИМИДНОЙ ПЛЕНКИ В УСЛОВИЯХ ПОЛЗУЧЕСТИ**

*Вихаусас З. С., Банявичюс Р. Б., Аскадский А. А.,
Марма А. И.*

Изучены релаксационные свойства пленки полииамида на основе пиromеллитового диангидрида и 4,4'-диаминодифенилового эфира в условиях ползучести в широком интервале температур и напряжений. Проанализирована механическая работоспособность пленки. Оценены области линейного и нелинейного механического поведения и проведено обобщение полученных данных с привлечением принципа температурно-временной аналогии. Выявлены оптимальные области напряжений и температур для практического использования данного материала и для осуществления ориентационных процессов.

Среди теплостойких полимеров, находящих широкое применение, наибольший интерес представляют ароматические полиимиды [1]. Характерным представителем этого класса полимеров является полиимид (ПИ) на основе пиromеллитового диангидрида и 4,4'-диаминодифенилового эфира



Хотя этот полимер достаточно широко применяется на практике, его релаксационные свойства, определяющие механическую работоспособность, изучены недостаточно. Имеются данные о поведении указанного полимера в виде монолитного материала в условиях релаксации напряжения [2]. Однако этот ПИ применяется практически в виде пленки, работающей в условиях повышенных температур и нагрузок.

В связи с этим представляло интерес изучить механическое релаксационное поведение ПИ-пленки в широком интервале температур и напряжений, чтобы выявить границы его механической работоспособности и связанные с этим области линейного и нелинейного механического поведения.

Для исследования использовали промышленную пленку ПИ¹ толщиной 85 мкм. Испытания проводили на приборе, описанном в работе [3], который поддерживал постоянное напряжение на протяжении всего опыта по ползучести. Особый интерес для нас представляло исследование механического поведения ПИ в экстремальных условиях, т. е. при действии высоких температур и больших механических напряжений. Поэтому исследовали кратковременную ползучесть (до 70 мин) ПИ во всем возможном для него интервале температур и начальных напряжений. Верхний интервал температур ограничивался температурой размягчения, зависящей от механического напряжения, а верхний интервал напряжений – способностью материала сохранять целостность в пределах заданной длительности эксперимента.

Анализ механической работоспособности в условиях ползучести проводили по методике [4]. Согласно этой методике, при каждой выбранной температуре определяется серия кривых ползучести, каждая из которых соответствует выбранному напряжению.

¹ Пленка для испытаний была предоставлена Э. П. Донцовой и В. Ф. Блиновым, которым авторы выражают благодарность.

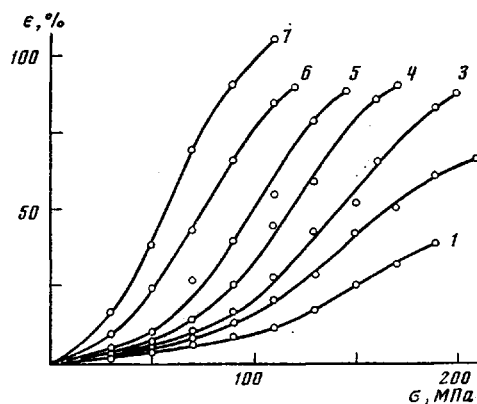


Рис. 1

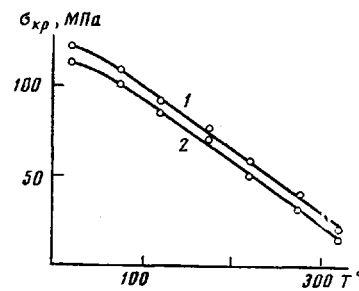


Рис. 2

Рис. 1. Изохронно-изотермические зависимости деформации ползучести от напряжения при длительности процесса 70 мин и температуре 20 (1), 70 (2), 120 (3), 170 (4), 220 (5), 270 (6) и 320° (7)

Рис. 2. Температурные зависимости критических напряжений при длительности нагрузки 2,5 (1), 70 миль (2)

Особенность полиимидной пленки, согласно проведенным исследованиям, заключается в том, что с ростом температуры (от 20 до 120° включительно) максимально возможное механическое напряжение, при котором пленка не разрушается при заданном времени эксперимента (70 мин), не убывает, а остается практически постоянным. Так, при 20° максимально возможное механическое напряжение составляет 190, при 70° — 210, а при 120° — 200 МПа. Это связано с большей ориентацией пленки (при одинаковом значении σ) при более высоких температурах, что видно из величин деформаций. При 20° предельная деформация составляет 40, при 70° — 67 и при 120° — 88%.

Далее кривые ползучести перестраиваются в изохронно-изотермические зависимости $\varepsilon - \sigma$. Эти зависимости в качестве примера при $t=70$ мин показаны на рис. 1; каждая кривая соответствует определенной выбранной температуре. Кривые имеют характерный вид: на первом участке деформация незначительно увеличивается с ростом напряжения, а на втором — возрастает быстро, приблизительно с постоянной скоростью. По этим зависимостям нами были найдены критические напряжения σ_{kp} и соответствующие им критические деформации ε_{kp} при быстром ускорении процесса ползучести. Значения σ_{kp} и ε_{kp} определяли по пересечению касательных к двум ветвям изохронно-изотермической кривой. Далее по этим данным были построены температурные зависимости критических напряжений, ограничивающих область напряжений и температур, в которой твердый полимерный материал сохраняет свою форму и целостность, т. е. деформируется относительно мало (рис. 2). Естественно, что границы этой области зависят от длительности процесса ползучести и смещаются в сторону более низких температур и напряжений при ее увеличении. Точка пересечения $\sigma_{kp} - T$ характеризует температуру размягчения материала, которая является более низкой, чем определенная другими методами.

Критические напряжения также могут быть найдены другим путем. Для этого по данным измерения ползучести в изотермических условиях при различных температурах можно построить термомеханические кривые (зависимость $\varepsilon - T$) для каждого выбранного уровня напряжений и фиксированного времени наблюдения. Так, например, термомеханические кривые при $t=10$ мин в интервале напряжений от 50 до 110 МПа показаны на рис. 3. Кривые состоят из двух отчетливо выраженных участков. На первом участке с ростом температуры деформация развивается относительно медленно, а на втором — сравнительно быстро. Температура, при которой наступает ускорение деформационного процесса (излом на зависимости ε от T), зависит от механического напряжения и закономерно снижается с ростом последнего. Эту температуру можно определить по пересечению

Рис. 3. Термомеханические кривые, построенные по результатам измерения ползучести при напряжении 50 (1), 70 (2), 90 (3) и 110 МПа (4)

Рис. 4. Изометрические зависимости напряжения (а) и податливости (б) от температуры при длительности процесса 70 мин и деформации 20 (1), 40 (2), 60 (3) и 80% (4)

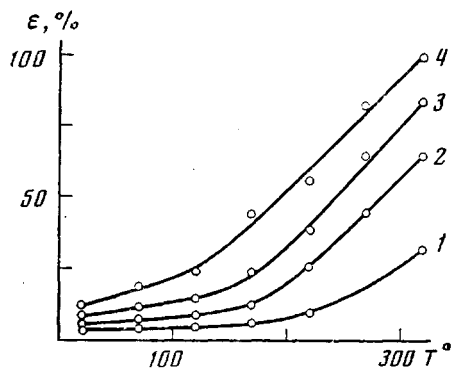


Рис. 3

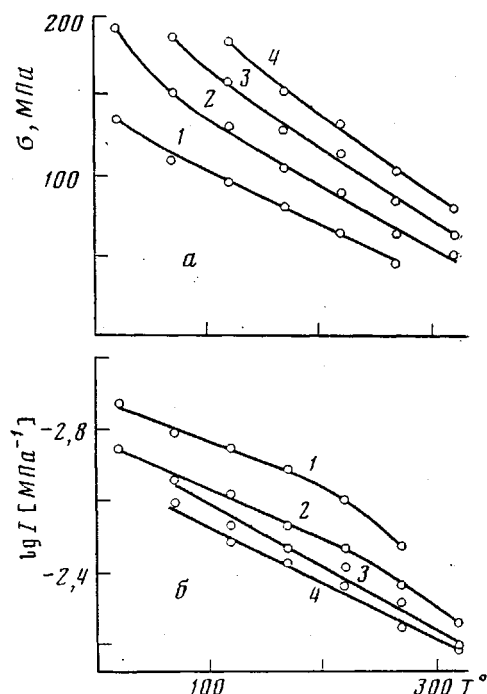


Рис. 4

касательных к двум ветвям термомеханической кривой и таким образом найти зависимость температуры механического размягчения от напряжения.

Возвращаясь к изохронно-изотермическим зависимостям (рис. 1), можно отметить, что после прохождения критического напряжения наблюдается весьма протяженный участок сравнительно быстрого развития деформации с ростом напряжения. На практике это означает, что после превышения критического напряжения полимер способен к значительной ориентации в условиях ползучести при действии постоянного напряжения. В связи с этим представляет интерес определить серию изометрических зависимостей напряжения от температуры, т. е. тех напряжений, которые при разных температурах вызывают одну и ту же деформацию ползучести. Такая серия кривых показана на рис. 4, а для длительности процесса $t=70$ мин. Напряжение, вызывающее одну и ту же деформацию, снижается с ростом температуры и с уменьшением самой величины деформации. Эта зависимость позволяет выбрать режим ориентации, проводимый в условиях действия постоянного напряжения.

Перейдем теперь к анализу линейности и нелинейности механического поведения пленки полимида в условиях ползучести. Этот анализ проведем двумя способами. Первый способ будет основан на данных, приведенных на рис. 4, а. Эти данные на рис. 4, б представлены в форме зависимостей податливости от температуры $\lg I = \varphi(t)/\sigma_0$, которые при разных деформациях не накладываются друг на друга, а несколько расходятся. Расхождение наблюдается не в области больших деформаций, как это характерно для большинства полимеров, а в области сравнительно малых деформаций, лежащих вблизи критических значений. При существенной ориентации полимера (от 30 до 80%) расхождение между податливостью при разных деформациях не превышает 10%.

Второй способ, примененный нами для анализа линейности и нелинейности механического поведения, является обычным: кривые ползучести, определенные при разных деформациях, перестраиваются в кривые податливости. Расхождение значений податливости более чем на 10% рассматривается как критерий нелинейности механического поведения. На рис. 5

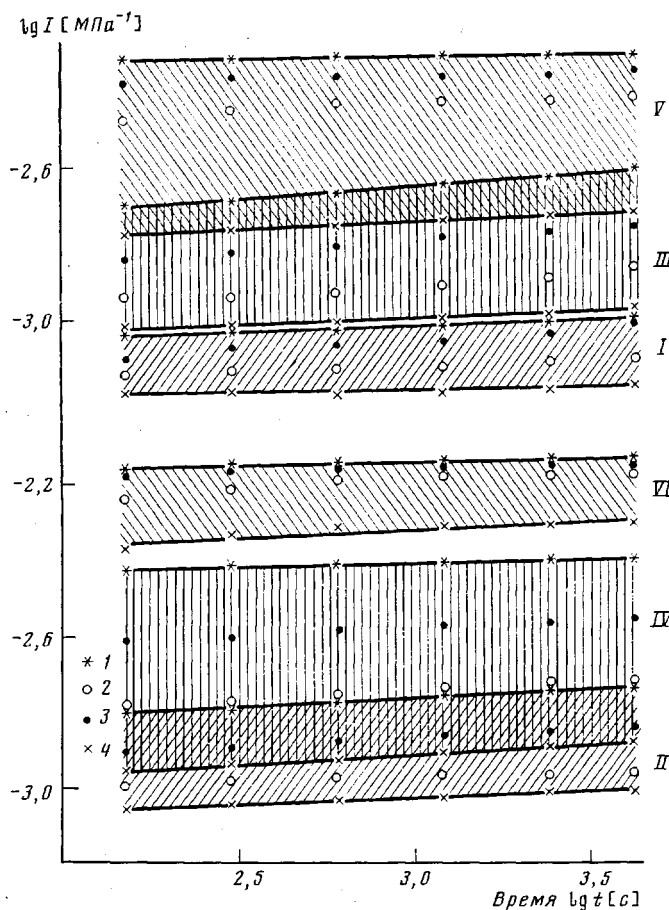


Рис. 5. Зависимости $\lg I$ от $\lg t$ при температуре 20 (I), 70 (II), 120 (III), 170 (IV), 220 (V) и 270° (VI) и напряжении 50 (1), 70 (2), 90 (3) и 110 МПа (4)

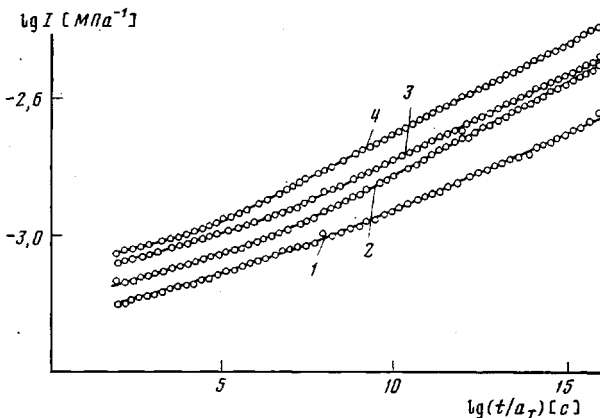


Рис. 6. Обобщенные кривые податливости ПИ при напряжении 50 (1), 70 (2), 90 (3) и 110 МПа (4)

показаны кривые податливости в логарифмических координатах, определенные при различных напряжениях и температурах. Анализ этих зависимостей позволяет сделать следующий вывод: в исследованной области напряжений интервал податливостей, охватываемый крайними кривыми, весьма широк, что свидетельствует о явно нелинейном поведении. Однако распределение значений податливости внутри этого интервала (заштрихованные области на рис. 5) позволяет выявить некоторые особенно-

сти механического поведения полиимида в различных областях температур и напряжений. При сравнительно низких температурах ($20-120^\circ$) кривые податливости, определенные при каждом напряжении, существенно отличаются друг от друга. Напротив, в области высоких температур (при 220 и особенно при 270°) кривые податливости, определенные при больших напряжениях, практически совпадают, что свидетельствует о линейности механического поведения. Отмеченные выше особенности механического поведения ПИ-пленки являются аномальными, так как с повышением температуры и напряжения нелинейность обычно усиливается, а не ослабевает.

Для прогнозирования релаксационного поведения пленки ПИ в условиях ползучести нами был применен принцип температурно-временной аналогии. С этой целью зависимости $\lg I$ от $\lg t$ при разных температурах, но постоянных напряжениях перемещали вдоль оси $\lg t$ на величину a_T до их совпадения с обобщенной кривой. В качестве температуры приведения выбрана $T_0=20^\circ$. Обобщенные кривые податливости для разных уровней напряжения показаны на рис. 6. Как видно, принцип температурно-временной аналогии выполняется достаточно хорошо. В области малых значений $\lg(t/a_T)$ (в области сравнительно низких температур) обобщенные кривые податливости заметно расходятся при сравнительно малых напряжениях.

В области больших значений $\lg(t/a_T)$ при напряжениях 90 и 70 МПа наблюдается слияние кривых. Ход этих обобщенных кривых податливости отражает особенности линейного и нелинейного поведения ПИ, описанные выше, и позволяет прогнозировать деформацию ползучести при больших значениях длительности процесса.

Температурные зависимости фактора сдвига $\lg a_T$ (рис. 7) для разных уровней напряжений расходятся, что также свидетельствует о нелинейности механического поведения. Эти зависимости имеют сложный S-образный характер и не подчиняются ни одной из предложенных функций (полиному второй степени [5], степенной функции [4], уравнению Вильямса — Ландела — Ферри [6]). В интервале температур от 70 до 120° для приведения кривых податливости к обобщенной кривой требуется весьма небольшой сдвиг. При $T < 70^\circ$ и $T > 120^\circ$ фактор сдвига существенно изменяется. Слабая зависимость $\lg a_T$ от $(T-T_0)$ в некотором интервале температур свидетельствует о незначительной зависимости деформации ползучести от температуры.

Проведенные нами исследования релаксационных свойств пленки полиимида позволили охарактеризовать ее поведение в условиях ползучести при действии больших напряжений. Это дало возможность определить интервалы напряжений и температур, наиболее благоприятные для использования полимера и осуществления ориентации.

ЛИТЕРАТУРА

1. Адррова Н. А., Бессонов М. И., Лайус Л. А., Рудаков А. П. Полиимида — новый класс термостойких полимеров. Л.: Наука, 1968, с. 211.
2. Бычко К. А., Аскадский А. А., Слонимский Г. Л. Высокомолек. соед. А, 1973, т. 15, № 5, с. 1100.
3. Малкин А. Я., Аскадский А. А., Коврига В. В. Методы измерения механических свойств полимеров. М.: Химия, 1978, с. 336.

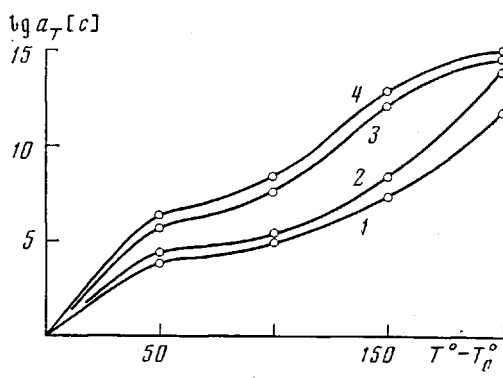


Рис. 7. Температурные зависимости фактора сдвига $\lg a_T$ при напряжениях 50 (1), 70 (2), 90 (3) и 110 МПа (4)

4. Аскадский А. А. Структура и свойства теплостойких полимеров. М.: Химия, 1981, с. 320.
5. Уржумцев Ю. С., Максимов Р. Д. Прогнозистика деформативности полимерных материалов. Рига: Зинатне, 1975, с. 416.
6. Ферри Дж. Вязкоупругие свойства полимеров. М.: Изд-во иностр. лит., 1963, с. 536.
- Каунасский политехнический институт
им. Антанаса Снечкуса
- Институт элементоорганических соединений
им. А. Н. Несмейнова АН СССР
- Поступила в редакцию
7.VI.1982

STUDY OF MECHANICAL SERVICEABILITY OF POLYIMIDE FILM IN CREEP CONDITIONS

*Vikhauskas Z. S., Banyavichyus R. B., Askadskii A. A.,
Marma A. I.*

S u m m a r y

The relaxational properties of the film of polyimide synthesized from pyromellitic dianhydride and 4,4'-diaminodiphenyl ester have been studied in creep conditions in the wide range of temperatures and stresses. The mechanical serviceability of the film is analysed. The regions of linear and non-linear mechanical behaviour are evaluated. The data obtained are generalized from the viewpoint of the principle of temperature-time analogy. The optimal regions of stresses and temperatures for practical usage of given material and for realization of orientational processes are determined.